

ВЛИЯНИЕ ЭЛЕКТРИЧЕСКОГО ПОЛЯ НА ГЕНЕРАЦИЮ ВТОРОЙ АКУСТИЧЕСКОЙ ГАРМОНИКИ В ТГС В ОБЛАСТИ ФАЗОВОГО ПЕРЕХОДА

A. И. Кондратков, О. Ю. Сердобольская

Изучению влияния электрического поля, параллельного полярной оси, на свойства кристалла ТГС вблизи фазового перехода посвящен ряд работ [1-4], в том числе исследовалось влияние поля на линейные акустические характеристики кристалла — скорость и поглощение про-

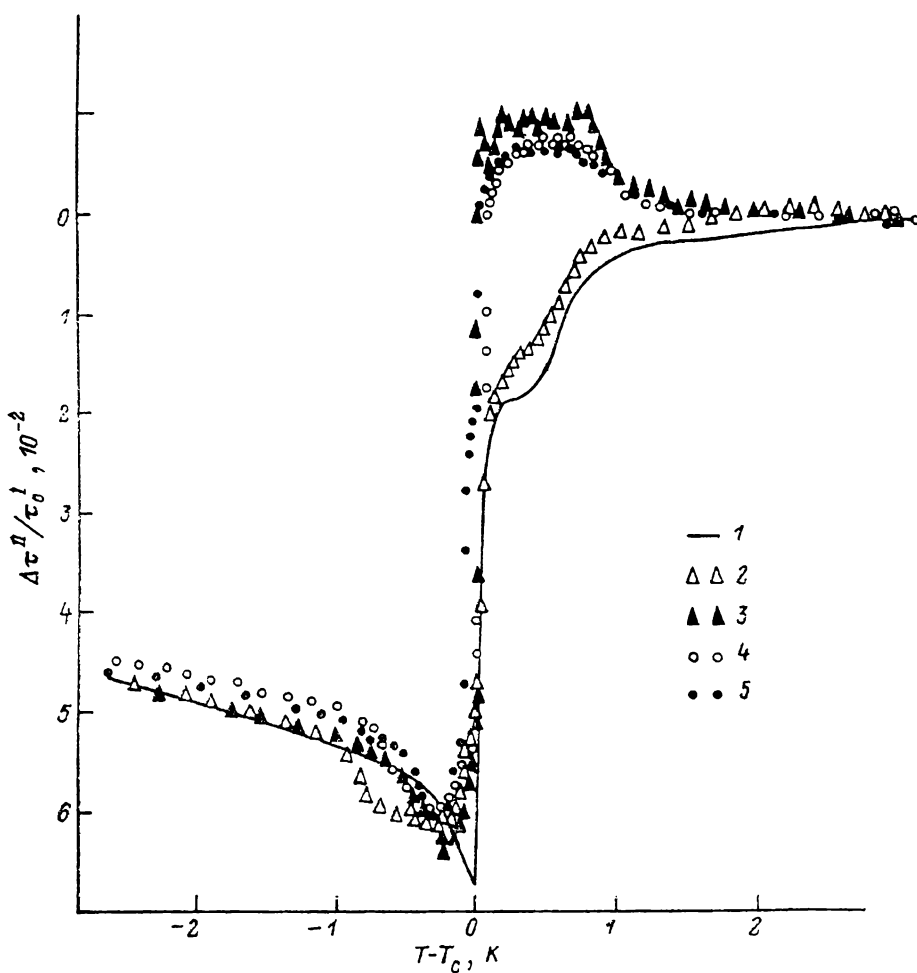


Рис. 1. Температурная зависимость нормированной фазы второй гармоники продольной волны u_{33}^2 в области фазового перехода при различных значениях электрического поля.

E_2 , В/см: 1 — 0, 2 — —450, 3 — +450, 4 — —850, 5 — +850.

дольной волны u_{33}^2 вблизи фазового перехода. Воздействие электрического поля на нелинейные акустические характеристики ранее исследовалось только теоретически [5].

Настоящая работа посвящена экспериментальному исследованию влияния слабого электрического поля ($E_2 \leq 1000$ В/см), параллельного полярной оси кристалла ТГС, на его нелинейные акустические характеристики в области фазового перехода. Образцы были выращены в пара-

в термостате при температуре $+70^{\circ}\text{C}$. Измерения выполнялись при охлаждении кристалла при постоянном поле со скоростью изменения температуры вблизи перехода порядка $0.005\text{ K}/\text{мин}$.

Для удобства сравнения результатов исследования фазовых характеристик волн основной частоты и второй гармоники, фаза второй гармоники пересчитана в «псевдоскорость» гармоники. На рис. 1 представлена величина $(\Delta v/v)_{\text{II}}^{\text{II}} = \Delta\tau^{\text{II}}/\tau_0^{\text{I}}$, где τ_0^{I} — фиксированное начальное время задержки фазы основной частоты в паразифазе вдали от области аномаль-

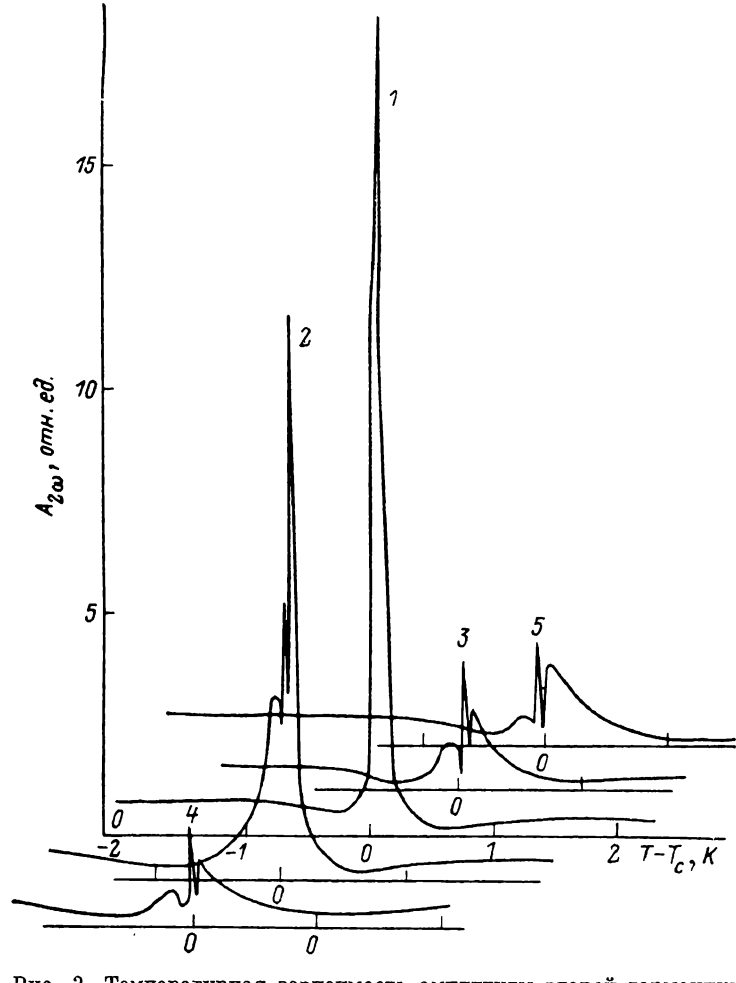


Рис. 2. Температурная зависимость амплитуды второй гармоники.
Номера кривых соответствуют рис. 1.

ного изменения акустических характеристик ТГС (при $T = +52^{\circ}\text{C}$), $\Delta\tau^{\text{II}}$ — температурно-зависимое изменение фазы второй акустической гармоники.

Исследование фазовых характеристик второй гармоники продольной волны u_{33} (рис. 1) дает возможность заметить, что фазовая аномалия гармоники в отсутствие внешнего поля более ярко выражена по сравнению с аномальным поведением фазы (скорости) волны основной частоты, что можно связать с вкладом в фазовую характеристику гармоники электромеханических коэффициентов и упругих модулей третьего и, возможно, более высоких порядков. При наложении внешнего электрического поля E_2 происходит резкое изменение фазовой характеристики второй гармоники вблизи фазового перехода со стороны паразифазы, что можно объяснить влиянием модулей нелинейной электрострикции. Кроме того, необходимо отметить немонотонный характер изменения фазы гармоники

в парафазе вблизи перехода при воздействии полей $E_2 = +450$, $+850$ В/см. При воздействии на кристалл ТГС поля $E_2 = -450$ В/см в области парафазы изменение фазовой характеристики гармоники невелико, что можно связать с компенсацией внешним полем внутреннего смещающего поля E_{cm} , которое в наших образцах имело величину порядка 400 В/см и было обусловлено ростовой дефектной структурой кристалла. Электрическое поле E_2 сглаживает острый минимум фазы гармоники в области перехода со стороны сегнетофазы, что имеет место и для волны основной частоты. Но в целом влияние внешнего электрического поля на фазовые характеристики гармоники меньше, чем для волны основной частоты, — для одинаковых напряженностей внешнего поля фаза второй гармоники не обнаруживает большого размытия, скачок фазы в области перехода остается резким.

Аномальное поведение амплитуды второй гармоники продольной волны u_{33} в области фазового перехода обнаруживает более сильную зависимость от величины и направления внешнего электрического поля. При наложении на образец электрического поля E_2 происходит практически полное подавление аномального роста амплитуды второй гармоники продольной волны (рис. 2), исключая поле $E_2 = -450$ В/см, когда аномалия остается, но несколько уменьшается. Это свидетельствует в пользу флюктуационного механизма амплитудной аномалии второй гармоники продольной волны u_{33} . Кроме того, необходимо отметить, что под влиянием электрического поля E_2 появляются осцилляции амплитуды второй гармоники в области фазового перехода при изменении температуры. Это имеет место для всех величин поля E_2 , использовавшихся в эксперименте.

Л и т е р а т у р а

- [1] Струков Б. А., Спиридонов Т. П., Минаева К. А., Федорихин В. А., Давтян А. В. Кристаллография, 1982, т. 27, № 2, с. 313—319.
- [2] Шувалов Л. А., Плужников К. А. Кристаллография, 1981, т. 6, № 5, с. 692—699.
- [3] Минаева К. А., Леванюк А. П. Изв. АН СССР, сер. физ., 1965, т. 29, № 6, с. 978—981.
- [4] Минаева К. А., Струков Б. А. ФТТ, 1966, т. 8, № 1, с. 32—35.
- [5] Сандлер Ю. М., Сериков В. И. ФТТ, 1976, т. 18, № 6, с. 1782—1784.

Московский государственный
университет им. М. В. Ломоносова
Москва

Поступило в Редакцию
16 сентября 1987 г.

УДК 537.312.62

Физика твердого тела, том 30, в. 4, 1988
Solid State Physics, vol. 30, № 4, 1988

ФОНОННАЯ СПЕКТРОМЕТРИЯ ГОРЯЧИХ ЭЛЕКТРОНОВ В МЕТАЛЛИЧЕСКИХ ПЛЕНКАХ

B. A. Шкловский

Ранее в работах [1, 2] автор теоретически рассмотрел тепловое излучение от нагреваемой током металлической пленки, осажденной на массивную монокристаллическую подложку из диэлектрика, находящуюся при гелиевых температурах. В зависимости от величины тока вычислялась нелинейная добавка к «остаточному» электросопротивлению пленки ρ_0 и спектральное распределение излучаемых ею в диэлектрик баллистических фононов. Оказалось, что в зависимости от соотношения между толщиной пленки d и эффективной длиной $l \equiv \alpha l_{pe}(T_e)$ (α — средняя акустическая прозрачность границы металл—диэлектрик (М—Д), $l_{pe}(T_e)$ — средняя длина свободного пробега фонона по отношению к рас-